

ニアデータ処理向け FPGA アクセラレータ

岡田光弘^{†1} 野村鎮平^{†1} 鈴木彬史^{†1} 藤本和久^{†1}

概要: 近年, SSD の普及に伴い HDD に比べて記憶デバイスからの読出しスループットが二桁以上に向上した. 一方で, CPU のコア数・周波数向上によるパフォーマンス向上が鈍化してきており, アプリケーションの一部処理を FPGA にオフロードすることで, 高性能化したいという要望が高まってきている. 本研究では, 購入可能な SSD と FPGA ボードを用いて, 高性能なニアデータ処理向け FPGA アクセラレータを実現することを目的とし, FPGA が SSD からリードしたデータを処理する方式を提案する. さらに, 本方式を評価する評価システムを構築し, SSD のリード性能と同等の高性能な FPGA アクセラレータが実現できることを確認した.

キーワード: ニアデータ処理, FPGA, SSD, NVMe 通信

FPGA Accelerator for Near-Data Processing

MITSUHIRO OKADA^{†1} SHIMPEI NOMURA^{†1}
AKIFUMI SUZUKI^{†1} KAZUHISA FUJIMOTO^{†1}

Abstract: Read throughput of SSD has been improved more than two orders of magnitude compared with HDD. On the other hand, performance improvement of CPU has slowed. Therefore, a FPGA accelerator has been attracting attention to offload a part of processing in CPU. In this paper, we propose a new method that FPGA can processes data read directly from SSD using a standard SSD and FPGA board. We have developed a testbed equipped with the proposed method and confirmed that it realized high performance for near-data processing.

Keywords: Near-data processing, FPGA, SSD, NVMe communication

1. はじめに

近年, SSD (Solid State Drive) の普及に伴い HDD (Hard Disk Drive) に比べて記憶デバイスからの読出しスループットが二桁以上に向上した. 一方で, CPU のコア数・周波数向上によるパフォーマンス向上が鈍化してきており, アプリケーションの一部処理を FPGA にオフロードすることで, 高性能化したいという要望が高まってきている[1].

このような背景から, 大量の蓄積データを読み出して解析するビックデータ解析の分野では, 記憶素子の近くで処理するニアデータ処理に関する研究が盛んに行われている[2][3].

本研究では, コンシューマ製品(購入可能な SSD と FPGA ボード)を用いて, 高性能なニアデータ処理向け FPGA アクセラレータを実現することを目的とし, FPGA が SSD からリードしたデータを処理する方式を提案する. また, 本 FPGA アクセラレータを画像マイニングシステムへ適用することを想定し, マイニング処理の前処理として用いられるガウシアンフィルタを FPGA にオフロードして, FPGA アクセラレータの性能評価を行う.

2. 本研究の狙い

本節では, 本研究の狙いについて述べる. 図 1 は, FPGA

アクセラレータのデータフローについて, 3 つの方式を示している. 以下, 画像処理を FPGA にオフロードする前提で説明する.

(i)従来処理方式は, 文献[4][5]で提案されている一般的な FPGA アクセラレータのデータフローである. これらの FPGA アクセラレータは, ホストメモリに格納されているデータの処理を対象としている. そのため, ホスト CPU は, SSD に対してリード指示を発行し, リードしたデータをホストメモリに一旦格納してから, FPGA に対して画像処理指示を発行する必要がある. この方式では, ホスト CPU はリード指示と画像処理指示の最低 2 回の指示が必要となる. さらに, SSD からリードしたデータがホストメモリを経由するため, ホストメモリの帯域を大幅に使用してしまうという欠点がある.

それに対する改善策として, 文献[2][3]では SSD 内部にオフロード処理用の FPGA を内蔵する方法を提案している ((ii)SSD 内部処理方式). この方式では, ホスト CPU が SSD に画像処理指示を発行するだけで, SSD 内部で画像処理を行い, ホストメモリに画像処理結果のデータを返すことができる. そのため, ホストメモリの帯域を余分に使用しないという利点がある. しかしながら, 購入可能な SSD にはこのような機能がないため, 専用の SSD を自製する必要がある.

そこで, 本研究では FPGA が SSD からリードしたデータを処理する方式を提案する ((iii)提案方式). この方式では, ホスト CPU が FPGA に画像処理指示した後, FPGA が SSD

^{†1}(株)日立製作所 研究開発グループ 情報通信イノベーションセンター
Hitachi, Ltd., Research & Development Group, Center for Technology
Innovation -Information and Telecommunications

に対してリード指示を出す。そのため、ホスト CPU は、FPGA の処理が完了するまで、何も処理をする必要がなく、ホスト CPU の指示回数は(ii)SSD 内部処理方式と同等となる。また、ホストメモリにデータを転送する途中に FPGA で処理するため、SSD 内部で処理するよりレイテンシは増えるが、FPGA 内の処理がボトルネックにならないように設計することで、SSD 内部で処理する場合と同等のスループット性能が期待できる。さらに、SSD と FPGA ボードは完全に独立しているため、専用の SSD である必要がなく、コンシューマ製品の組み合わせで実現可能な構成である。

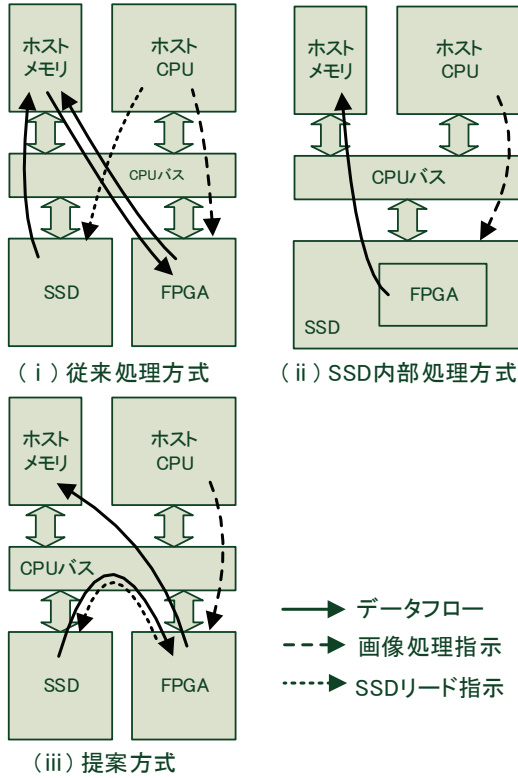


図1 FPGAアクセラレータのデータフロー
 Fig. 1 Data flow of FPGA accelerators.

3. 評価システムの構成

図2に本研究で試作する評価システムの構成を示す。ホスト CPU とホストメモリが接続された CPU バスに PCI Express (PCIe)[a]スイッチを接続し、その先に SSD と FPGA ボードを接続する構成を考案した。PCIe スイッチを使用した理由は、SSD からリードしたデータを PCIe スイッチ内でルーティングして FPGA に入力できるため、CPU バスへの負荷も図1(ii)SSD 内部処理方式と同等にできると考えたからである。

SSD については、様々な通信プロトコル[6]の中で最も高性能である Non-Volatile Memory Express (NVMe) プロトコル[7]に対応した PCIe 接続の SSD を使用する。以降、単に SSD と記載したものは NVMe プロトコル対応の PCIe 接続の SSD を表す。

a) PCI Express (PCIe)は、PCI-SIG の登録商標です。

FPGA ボードについては、PCIe 接続の FPGA 評価ボードを使用し、通信プロトコルは SSD と同一の NVMe プロトコルに統一した。

次章で NVMe プロトコルについて説明する。

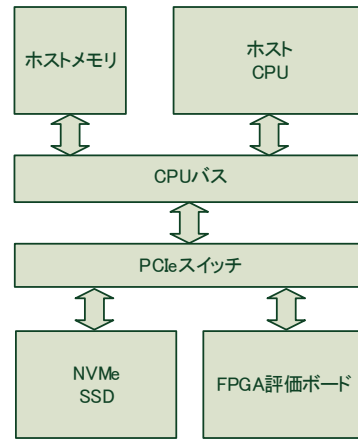


図2 評価システムの構成
 Fig. 2 Evaluation system.

4. NVMe プロトコルの概要

NVMe は、2011 年に Version1.0 としてリリースされた低処理負荷の通信プロトコルの規格である。

図3に NVMe 通信のインタフェースを示す。NVMe では、CPU がアクセスするホストメモリ上にコマンド用のキュー (I/O Submission Queue (SQ)) とコンプリション用のキュー (I/O Completion Queue (CQ)) を設ける。さらに、SSD の内部に、SQ の Tail 値を通知するレジスタ (Submission Queue Tail Doorbell (SQTDBL)) と CQ の Head 値を通知するレジスタ (Completion Queue Head Doorbell (CQHDBL)) を設ける。

このインタフェースは、NVMe ドライバの起動時に SSD と通信して自動で生成される。また、このインタフェースは、複数生成することが可能で、通常は CPU コア毎に生成する。これにより、CPU コア間のロックを排除することができるので、低負荷での通信が可能となっている。

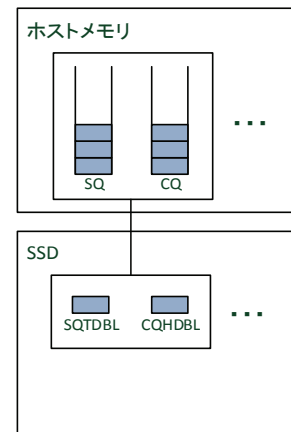


図3 NVMe 通信のインタフェース
 Fig. 3 NVMe communication interface.

次に、NVMe プロトコルの具体的な通信例をリードコマンドの処理フローを用いて説明する (図 4)。まず、ホスト CPU で動作する NVMe ドライバは、ホストメモリ上の SQ に NVMe コマンドを作成する (①)。次に、SQTDBL を用いて SSD に SQ の Tail 値を通知する (②)。SSD は、SQTDBL の Tail 値の更新を検知し、NVMe コマンドを取得する (③)。NVMe コマンドの中には、リードコマンドを示すオペコード、リードしたいデータの格納位置を示す転送元アドレスとそのサイズ、リードデータの転送先アドレス等が入っている。

次に、SSD はフラッシュメモリからデータを読み出して、ホストメモリにリードデータ転送する (④)。リードデータの転送が完了した後、SSD はホストメモリの CQ にコマンド完了を知らせるコンプリションを転送し (⑤)、ホスト CPU に割り込みを発行する (⑥)。割り込みを受けた CPU は、コンプリションを確認して、コマンド終了を認知する (⑦)。最後にホスト CPU は、CQHDBL を用いて SSD に CQ の Head 値を通知する (⑧)。

以上が NVMe プロトコルの一連の動作となる。

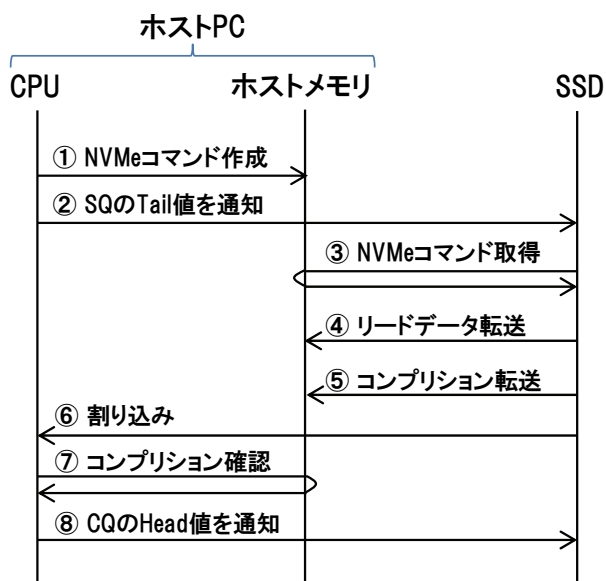


図 4 リードコマンドの処理フロー

Fig. 4 Processing flow of a read command.

5. 関連研究

5.1 PCIe ファブリックを用いたデバイス間通信の研究

PCIe ファブリックを使った演算デバイス間の通信についてはいくつかの手法が研究されている。例えば、文献[8][9]では FPGA に通信インターフェースを実装して、GPU と FPGA 間の通信を行っている。また、文献[10]の GPU 向けの開発環境 (CUDA) では、GPU と GPU のダイレクト通信を可能にする専用の API を提供している。

しかしながら、これらの文献では、演算デバイス間で通信しており、演算デバイスと記憶デバイス間の通信にその

まま利用することはできない。

一方、GPU と SSD 間の通信に関しても研究されている。文献[11]では、ホスト CPU がリードデータの格納先アドレスをホストメモリでなく、GPU 内のメモリアドレスを設定できるようにドライバを改良することで GPU と SSD 間の通信を実現している。

しかしながら、この文献では、ホスト CPU が主体となって SSD と FPGA にそれぞれ指示を出しているため、GPU がリードコマンドを発行していない。

5.2 高速画像処理回路の研究

画像処理回路の研究としては、連続で入力される画像を対象として、リアルタイムで処理する手法が研究されている。文献[12]では、ノイズ除去回路を 96.5MHz で実装しており、4Mpixel/second の処理速度を実現している。

しかしながら、この論文では、連続で入力される画像を 96.5MHz の動作周波数で、1 画素ずつ処理しているため、GB/s オーダーのスループットで画像処理することはできない。

6. 解決すべき課題

本研究で解決すべき課題は、3 つある。

1 つ目の課題は、FPGA と SSD の通信技術の確立である。ホスト CPU が FPGA への指示のみで、オフロード処理を完了するためには、FPGA が SSD にリードコマンドを発行する必要がある。しかし、NVMe インタフェース (SQ/CQ と SQTDBL/CQHDBL) は、NVMe ドライバのみが管理している情報のため、FPGA は NVMe インタフェースにアクセスできないという課題がある。

2 つ目の課題は、FPGA の処理フローの確立である。現状 FPGA が SSD にリードコマンドを発行して、リードしたデータを処理する研究は行われていないため、新たな処理フローを提案する必要がある。

3 つ目の課題は、FPGA の実装である。図 1 (ii) SSD 内部処理方式と同等の処理性能を実現するためには、SSD のリード性能と同一の処理能力が求められる。本研究で使用する SSD の最大リード性能は 2.6GB/s であるため、2.6GB/s 以上の処理性能でフィルタ処理が可能な FPGA を設計する必要がある。

7. 提案手法

7.1 FPGA と SSD の通信技術

FPGA が SSD にリードコマンドを発行するためには、FPGA がアクセスできる NVMe インタフェースを用意する必要がある。そこで、図 5 のように SSD と FPGA に新たに FPGA がアクセスする専用の NVMe インタフェース (SSD に SQTDBL_S, CQHDBL_S, FPGA に SQ_S, CQ_S) を作成することを提案する。

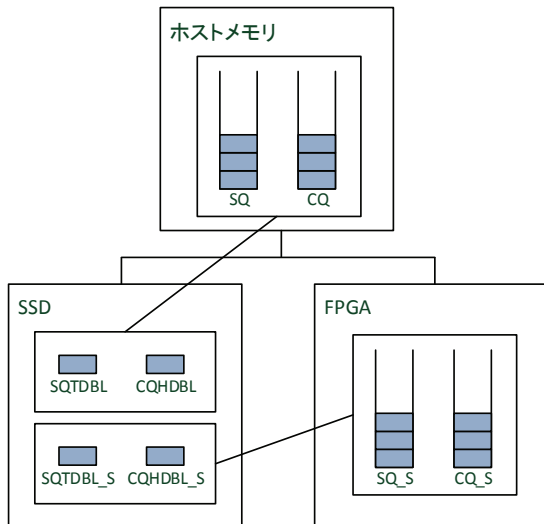


図5 FPGA専用NVMeインタフェース

Fig. 5 NVMe interface for FPGA.

このFPGA専用のインタフェースの生成は、FPGAドライバとNVMeドライバに実装した。

図6にFPGA専用NVMeインタフェースの作成フローを示す。まず始めに、FPGAドライバは、FPGA内のSQ_SのアドレスとCQ_Sのアドレス、それぞれのキューの深さをNVMeドライバに通知する(a)。NVMeドライバは、NVMeの管理コマンドを用いて、SSDのSQ_TDBL_SとCQ_HDBL_Sを作成してアクセス可能な状態にする(b)。その後、NVMeドライバは、SQ_TDBL_SとCQ_HDBL_SのアドレスをFPGAドライバに通知する(c)。最後に、FPGAドライバは、SQ_TDBL_SとCQ_HDBL_SのアドレスをFPGAに通知する(d)。

以上、FPGAドライバとNVMeドライバが連携する処理を各々のドライバに追加することで、FPGAがSSDへリードコマンドを発行できるようになった。

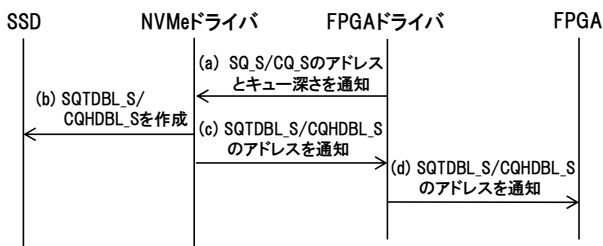


図6 FPGA専用NVMeインタフェース作成フロー

Fig. 6 Creation flow of new NVMe interface.

7.2 FPGAの処理フロー

次に、提案するFPGAの処理フローを述べる。図7は、図1(iii)提案方式の処理フローを具体化したものである。ここで、Host CPUとFPGA間の通信は、FPGAドライバ起動時に作成するNVMeインタフェース(SQ_F/CQ_FとSQ_TDBL_F/CQ_HDBL_F)を用いて行う。以下、各処理について詳述する。

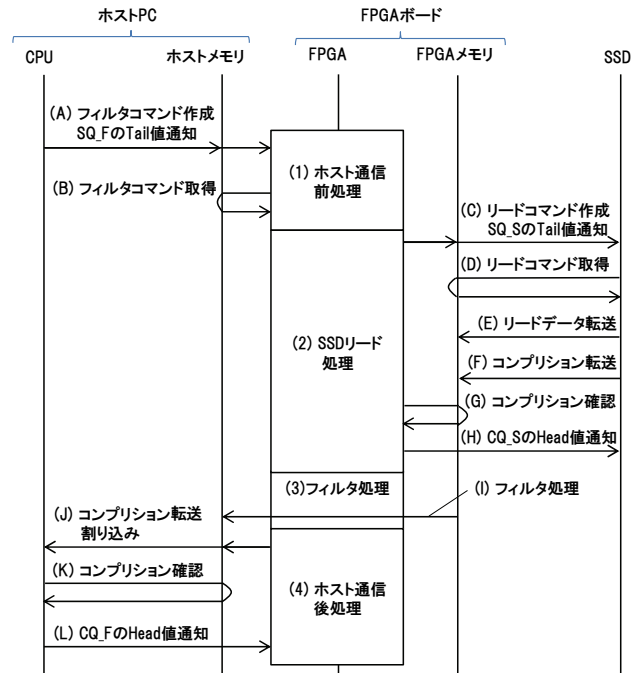


図7 FPGAの処理フロー

Fig. 7 FPGA processing flow.

(1) ホスト通信前処理

ホスト通信前処理は、Host CPUからフィルタコマンドを受け付ける処理である。Host CPUは、Hostメモリ上のSQ_Fにフィルタコマンドを作成し、SQ_TDBL_Fを用いてFPGAにSQ_FのTail値を通知する(A)。FPGAは、SQ_TDBL_Fの更新を検知して、Hostメモリからフィルタコマンドを取得する(B)。このフィルタコマンドの中には、フィルタコマンドを表すオペコード、フィルタ処理対象のデータが格納されているSSD内の格納アドレスとサイズ、フィルタ処理結果格納用のHostメモリ内の格納アドレス等が含まれる。

(2) SSDリード処理

SSDリード処理は、SSDからフィルタ処理対象のデータをリードする処理である。FPGAは、FPGAメモリ上のSQ_Sにリードコマンドを作成し、SQ_TDBL_Sを用いてSSDにSQ_SのTail値を通知する(C)。SQ_TDBL_Sの更新を検知したSSDは、リードコマンドを取得する(D)。次にSSDは、フラッシュメモリからリードしたデータをFPGAメモリに転送する(E)。その後、SSDは、FPGAのCQ_Sにコンプリションを転送する(F)。FPGAは、定期的にコンプリションの有無を確認しており(G)、コンプリションを受け取った後、CQ_HDBL_Sを用いてSSDにCQ_SのHead値を通知する(H)。

なお、一度にフィルタ処理するピクチャのデータサイズがSSDの最大リクエストサイズよりも大きい場合は、リードコマンドを複数発行することで対応する。この場合は全てのリードコマンドのコンプリションを確認した後、SSDリード処理が完了となる。

(3) フィルタ処理

フィルタ処理は、FPGA メモリからデータを読み出してフィルタ処理を行なう処理である。フィルタ処理後は、ホストメモリにフィルタ処理結果を転送する(I)。

(4) ホスト通信後処理

ホスト通信後処理は、フィルタコマンドの完了をホストCPUに通知する処理である。FPGA は、ホストの CQ_F にコンプリションを転送し、割り込みを発行する(J)。割り込みを受けたホスト CPU は、コンプリションの内容を確認する(K)。最後にホスト CPU は、FPGA の CQHDBL_F を用いて FPGA に Head 値を通知する (L)。

8. FPGA の実装

8.1 ハード/ソフト処理の切り分け

本試作では、図7の処理フローを実現するFPGAを実装する必要があるが、FPGAを全てハードウェアで実装すると設計工数が大きくなる。そこで、処理に応じてFPGA内の組み込みプロセッサを使用する方針にした。

各処理のハード/ソフト処理の切り分け結果を表1に示す。SSDからリードしたデータが流れるデータバスとフィルタ処理回路コアの部分は、2.6GB/s以上の処理性能が必要なため、ハードウェアで設計する方針とした。一方、処理内容が複雑かつ、性能要件が厳しくない処理（ホスト通信前処理/後処理、SSDリード処理、フィルタ処理回路制御）に関してはソフトウェアで設計する方針とした。

表1 ハード/ソフト処理切り分け

Table 1 Hardware/software selection.

処理内容	ハード/ソフト
ホスト通信前処理/後処理	ソフトウェア
SSDリード処理	ソフトウェア
フィルタ処理回路制御	ソフトウェア
フィルタ処理回路コア	ハードウェア
データバス	ハードウェア

8.2 FPGA の回路構成

図8にFPGAの回路構成を示す。FPGAはStratix[b]5(5SGXE7K2F40C2N)を使用し、200MHzの動作周波数で設計した。FPGA内部は、PCIe Gen3x4、組み込みプロセッサ、DMA(Direct Memory Access)、Mux(Multiplexer)、Demux(Demultiplexer)、16B⇄4B変換、レジスタ、フレームメモリ(SRAM)とフィルタ回路の9つのモジュールで構成した。全てのモジュールを同一バスに接続してしまうと処理性能が保障できないため、用途に応じて2つのバスに分離した。まず、SSDのリードデータが通るモジュールのバスは、ストリーミング形式のAvalon[c]STバスを採用し、2.6GB/s以上の処理性能を実現するために16Byte幅で設計した。一方、プロセッサがアクセスするモジュール

のバスは、ハンドシェイク形式のAvalon MMバスを採用し、プロセッサのアクセス幅に合わせて4byteで設計した。さらに、ホストCPUと組み込みプロセッサが通信できるようにするために、16B⇄4B変換モジュールを両バス間に挿入した。

なお、表1に記載のソフトウェアで行う3つの処理は、プロセッサ、レジスタ、DMAを連動させて動作させることで実現できるように設計している。

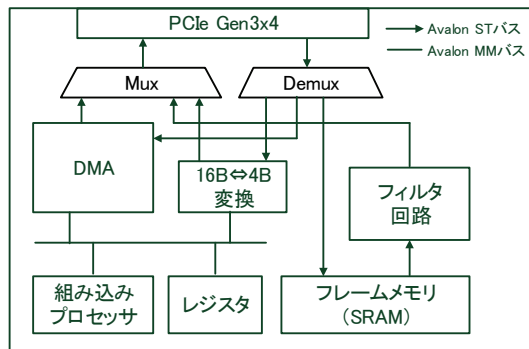


図8 FPGAの回路構成

Fig. 8 Block diagram of the FPGA.

8.3 フィルタ回路

フィルタ回路は、5Tap×5Tapのガウシアンフィルタを実装した。フィルタ回路の構成を図9に示す。フィルタ処理部に5ライン分の画素を同時に入力するために、1KB(16B×64word)のラインメモリ5本と、次ラインの先読み用に1本、計6本のラインメモリを使用した。また、全ての信号線を16Byteで設計することで、3.2GB/s処理可能なフィルタ回路を実現した。

制御部は、プロセッサからの指示で処理を開始する。6本のラインメモリからフィルタ処理部へ入力する5本のラインを選択してフリップフロップ(FF)に画素を供給する。また、画像端のパディング処理の制御も行う。

フィルタ処理部は、16画素を同時にフィルタ処理するため、400個(16画素×25係数)の掛け算ハードマクロ(DSP BLK)を使用し、1クロックでフィルタ係数の分子の掛け算を行う。その後、25係数の足し算を2クロックかけて行い、最後にフィルタ係数の分母の割り算をして結果を出力する。

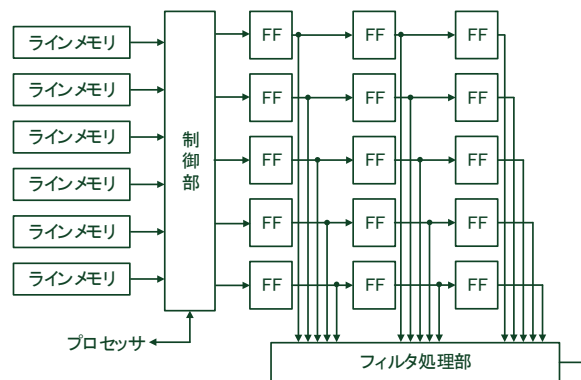


図9 フィルタ回路の構成

Fig. 9 Block diagram of the filter processing.

b) Stratixは、Altera Corporationの登録商標です。
 c) Avalonは、Altera Corporationの登録商標です。

9. 評価環境及び評価条件

9.1 評価環境

図 10 に、図 2 の評価システム構成を実際に構築した実機評価環境を示す。ホスト PC に PCIe gen3 x16 ケーブルで PCIe スイッチに接続し、PCIe スイッチに FPGA ボードと SSD を接続した。各機材の仕様を、表 2 に纏める。

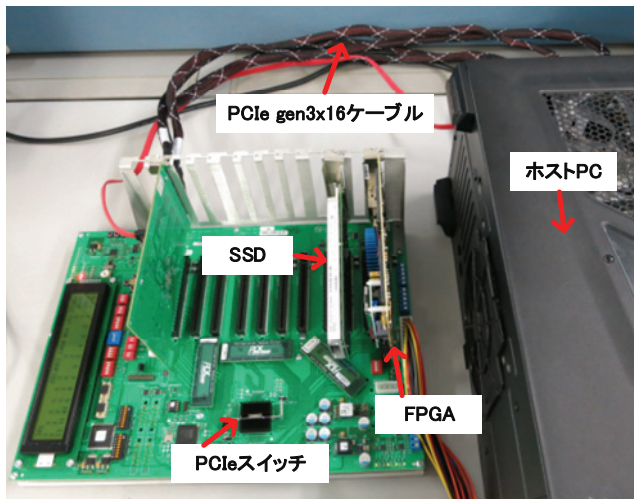


図 10 実機評価環境

Fig. 10 Evaluation environment.

表 2 評価環境の仕様

Table 2 Specification of the evaluation environment.

機材名	仕様
CPU	Core i7 3930 (3.2GHz)
メモリ	DDR3 1333MHz (8GB)
PCIe スイッチ	PCIe スイッチ評価キット : PEX 8748-BA RDK (ホスト接続 PCIe Gen3 x16)
FPGA ボード	Stratix 5 GX FPGA 開発キット : DK-DEV-5SGXEA7N
SSD	DC P3700 (800GB)

9.2 評価条件

本研究では、提案する FPGA アクセラレータを用いた提案方式、比較方式として、フィルタ処理をソフトウェアで行ったソフトウェア方式、SSD のリードのみを行った SSD リード方式の 3 方式を評価する。

評価画像は、1 フレーム 1024×512 画素の輝度のみの非圧縮画像(512KB)を 1000 枚 (512MB) とした。ソフトウェア方式に用いたフィルタ処理は、OpenCV 2.4[13]の 2D フィルタ関数 (cvFilter2D) を用いた。その際、2D フィルタ関数のフィルタ係数は、5Tap×5Tap のガウシアンフィルタの係数を設定した。

また、SSD のリード性能は、コマンドを多重で発行しないと最高性能を得られないため、リード性能が安定する 5 多重までコマンドの多重数を変更して評価した。

10. 評価結果

10.1 フィルタ処理性能

図 11 にコマンド多重数におけるフィルタ処理性能のグラフを示す。横軸にコマンド多重数、縦軸に各方式の処理性能を示している。

図 11 より提案方式は、ソフトウェア方式に対して、最大 14 倍の性能改善が実現できていることが分かる。また、コマンド多重数が 2 多重以上になると、提案方式と SSD リード方式が同等の処理性能になることから、SSD 内部の FPGA で処理する方式と同等の処理性能が実現できたと言える。コマンド多重数 1 の時、提案方式が SSD リード方式に比べて処理性能が劣っているのは、FPGA でフィルタ処理をしたことによる、レイテンシの増加が原因であると考ええる。2 多重以上では、このレイテンシ増加分を隠蔽できたため、同等の処理性能が得られたと考える。

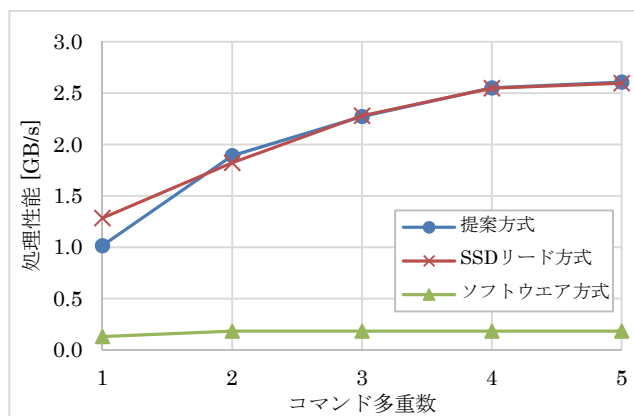


図 11 フィルタ処理性能

Fig. 11 Filtering performance.

10.2 CPU 使用率

次に、SSD の性能が安定した状態 (コマンド多重数 4 の時) の CPU 使用率を評価する。図 12 は、CPU 処理時間が記録されている stat ファイルの内容を 0.1 秒毎に取得して CPU 使用率をグラフ化したものである。横軸に処理時間、縦軸に CPU 使用率を表す。

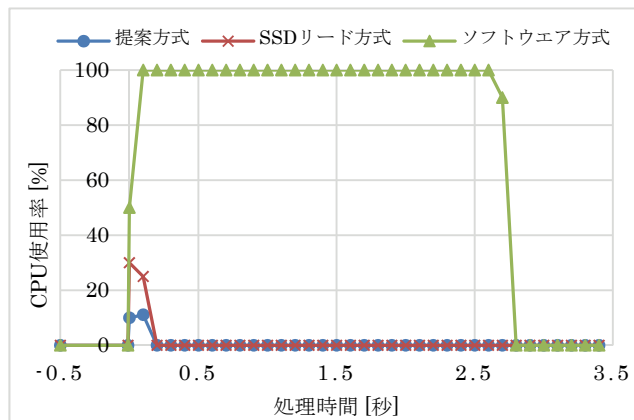


図 12 CPU 使用率

Fig. 12 CPU utilization.

図 12 のグラフから、ソフトウェア方式は常に 100% の使用率に対して、提案方式は、CPU 使用率が少ないことが分かる。これは、ホスト CPU が FPGA にフィルタ処理を指示した後、FPGA から完了の割り込みが入るまで、IDLE 状態になるためである。この結果より、提案方式は処理時間が短縮されるだけでなく、CPU 使用率を抑える効果もあることが確認できた。

また、提案方式は、SSD リード方式と比較して CPU 使用率が少ない結果となった。これは、提案方式のコマンドの処理負荷が SSD リード方式より少ないためだと考える。本研究で用いた SSD の最大リクエストサイズは、128KB であり、1 ピクチャ(512KB)リードするためには、ホスト CPU は、4 回のリードコマンドを発行する必要がある。一方、提案方式のホスト CPU は、1 ピクチャ分のフィルタコマンドを 1 回発行し、FPGA が、4 回のリードコマンドを SSD に発行する。そのため、提案方式の CPU 使用率が SSD リード方式に比べて少なくなったと考える。

10.3 実装規模

最後に、FPGA の実装規模を評価する。表 3 にブロック毎のロジック (ALMs), SRAM, DSP BLK の使用数を示す。表 3 の PCIe バスは、Demux, Mux, 16B⇄4B 変換, Avalon ST バスの合計、プロセッサは、組み込みプロセッサ、レジスタ, Avalon MM バスの合計を表している。PCIe Gen3x4 は FPGA のハードマクロを使用したため、使用数のカウントに入らない。表 3 より、ロジック使用率 11%, SRAM 使用率 65%, DSP BLK 使用率 100% で FPGA に実装できた。

表 3 実装規模

Table 3 Resource utilization.

ブロック名	ロジック (ALMs)	SRAM [KB]	DSP BLK
PCIe バス	9963	98	0
DMA	5366	868	0
プロセッサ	5496	586	2
フィルタ回路	3723	10	254
フレームメモリ	7	2560	0
合計	24555(11%)	4122(65%)	256(100%)

※合計の括弧内は FPGA の使用率

11. 結論及び今後の課題

本論文では、コンシューマ製品を用いたニアデータ処理向け FPGA アクセラレータを提案した。FPGA が SSD からデータをリードして処理することで、SSD のシーケンシャルリード性能と同等の処理性能が得られることを実証した。これにより、専用の SSD を自製する必要がある SSD 内部の FPGA で処理する方式と、同等の処理性能を実現できたとと言える。

今後は、画像マイニングシステムに本 FPGA アクセラレータを搭載して画像マイニングシステムの性能評価を行う

予定である。

参考文献

- 1) D. Brooks, Y. Chen, J. Cong, Z. Fang, B. Reagen, Y. S. Shao, "Rapid Exploration of Accelerator-rich Architectures: Automation from Concept to Prototyping, Introduction," Tutorial on the 42nd International Symposium on Computer Architecture (ISCA 2015). <http://accelerator.eecs.harvard.edu/isca15tutorial/>
- 2) S.-W. Jun, M. Liu, S. Lee, J. Hicks, J. Ankcorn, M. King, S. Xu, Arvind, "BlueDBM: An Appliance for Big Data Analytics," in Proceedings of the 42nd International Symposium on Computer Architecture (ISCA 2015), pp. 1-13, Jun. 2015.
- 3) T. Li, M. Huang, T. El-Ghazawi, H. H. Huang, "Reconfigurable Active Drive: An FPGA Accelerated Storage Architecture for Data-Intensive Applications," in Proceedings of the 2009 Symposium on Application Accelerators in High-Performance Computing (SAAHPC'09), Jul. 2009.
- 4) H. Giefers, R. Polig, C. Hagleitner, "Accelerating arithmetic kernels with coherent attached FPGA coprocessors," in Proceedings of Design Automation & Test in Europe (DATE 2015), pp. 1072-1077, Mar. 2015.
- 5) A. Putnam, A. M. Caulfield, E. S. Chung, D. Chiou, K. Constantinides, J. Demme, H. Esmaeilzadeh, J. Fowers, G. P. Gopal, J. Gray, M. Haselman, S. Hauck, S. Heil, A. Hormati, J.-Y. Kim, S. Lanka, J. Larus, E. Peterson, S. Pope, A. Smith, J. Thong, P. Y. Xiao, D. Burger, "A Reconfigurable Fabric for Accelerating Large-Scale Datacenter Services," in Proceedings of the 41st International Symposium on Computer Architecture (ISCA 2014), pp. 13-24, Jun. 2014.
- 6) Cisco, EMC and Intel, "The Performance Impact of NVMe and NVMe over Fabrics," http://www.snia.org/sites/default/files/NVMe_Webcast_Slides_Final.1.pdf
- 7) Non-Volatile Memory Express (NVMe), <http://www.nvmexpress.org/>
- 8) R. Bittner, E. Ruf, "Direct GPU/FPGA Communication Via PCI Express," in Proceedings of the 41st International Conference on Parallel Processing Workshops (ICPPW 2012), pp. 135-139, Sept. 2012.
- 9) Y. Thoma, A. Dassatti, D. Molla, "FPGA2: An Open Source Framework for FPGA-GPU PCIe Communication," in Proceedings of 2013 International Conference of Reconfigurable Computing and FPGAs (ReConFig 2013), pp. 1-6, Dec. 2013.
- 10) NVIDIA, "GPUDirect," <https://developer.nvidia.com/gpudirect>
- 11) R. Wipfel, D. Atkisson, V. Brisebois, "RDMA GPU Direct for ioMemory," GPU Technology Conference S4265, Mar. 2014, <http://on-demand.gputechconf.com/gtc/2014/presentations/S4265-rdma-gpu-direct-for-fusion-io-iodrive.pdf>
- 12) W.-C. Kao, H.-S. Tai, C.-P. Shen, J.-A. Ye, H.F. Ho, "A Pipelined Architecture Design for Trilateral Noise Filtering," in Proceedings of the 2007 IEEE International Symposium on Circuits and Systems (ISCAS 2007), pp. 3415-3418, May 2007.
- 13) OpenCV, <http://opencv.org/>